Date: 15/06/2011 Page: 1/16

Clé: V3.04.109

Titre: SSLV109 - Cylindre plein en pression non uniforme [...]

Responsable : Josselin DELMAS

# SSLV109 - Cylindre plein en pression non uniforme mode 1

### Résumé:

Ce test valide tous les éléments de Fourier (triangles et quadrangles de degrés 1 et 2) en élasticité. Les fonctionnalités sont les suivantes :

- pression variable en espace,
- · déplacements imposés,
- matrices de rigidité Fourier mode 1,
- contraintes aux nœuds Fourier mode 1,
- recombinaison de Fourier sur les déplacements et contraintes (modélisation A),
- matériau isotrope transverse (modélisation F).

Le test a une solution analytique quadratique en déplacements.

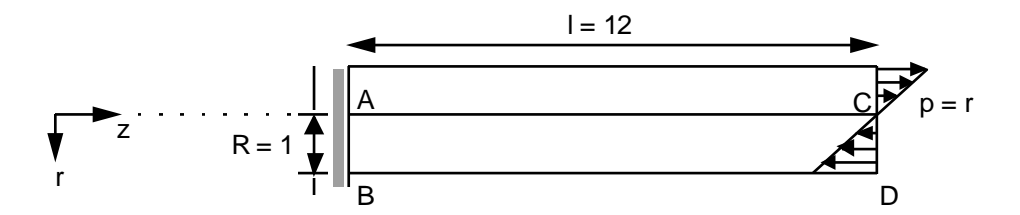
L'intérêt du test réside dans :

- la comparaison entre solution calculée et solution analytique sur les différents éléments finis,
- la comparaison des résultats avec le Code PERMAS sur les éléments TRIA6 (modélisation A).

Date: 15/06/2011 Page: 2/16 Responsable: Josselin DELMAS Clé: V3.04.109 Révision: 6525

### Problème de référence

#### 1.1 Géométrie



Le domaine modélisé est ACDB (plan  $\theta = 0$  ).

### 1.2 Propriétés de matériaux

$$E = 72 N/m^2$$

$$v = 0.3$$

### **Conditions aux limites et chargements** 1.3

$$u_r(A) = u_z(A) = u_\theta(A) = 0$$
  
 $u_z(AB) = 0$ 

$$p = \bar{p} \, \frac{r}{R} \cos \theta$$

avec  $\bar{p}=1$ . et R=1 appliqué en z=12.

#### **Conditions initiales** 1.4

Sans objet pour l'analyse statique.

Date: 15/06/2011 Page: 3/16

Clé: V3.04.109

Titre: SSLV109 - Cylindre plein en pression non uniforme [...]

Responsable: Josselin DELMAS

## 2 Solution de référence

### 2.1 Méthode de calcul utilisée pour la solution de référence

$$u_r(r,z,\theta) = u(r,z)\cos\theta$$
 avec  $u(r,z) = \frac{M}{2EI}z^2 + \frac{v\bar{p}}{2ER}r^2$ 

$$u_z(r,z,\theta) = v(r,z)\cos\theta$$
 avec  $v(r,z) = -\frac{\overline{p}}{2EI}rz$ 

$$u_{\boldsymbol{\theta}}(\boldsymbol{r},\boldsymbol{z},\boldsymbol{\theta})\!=\!w(\boldsymbol{r},\boldsymbol{z})(-\sin\theta) \qquad \text{avec} \ w(\boldsymbol{r},\boldsymbol{z})\!=\!\frac{M}{2\mathrm{EI}}\boldsymbol{z}^2\!-\!\frac{v\,\overline{p}}{2\mathrm{ER}}\boldsymbol{r}^2$$

Toutes les contraintes sont nulles sauf  $\,\sigma_{\it zz}(r$  ,  $z)\!=\!-{{\overline p}\over R}r$  .

Les données ont été choisies de telle façon que u(x)=u(0,l)=1.

Les déplacements s'écrivent donc ici :

$$u(r,z) = \frac{z^2}{144} + \frac{r^2}{480}$$
;  $v(r,z) = -\frac{rz}{72}$ ;  $w(r,z) = \frac{z^2}{144} - \frac{r^2}{480}$ 

et:

$$\sigma_{zz}(r$$
 ,  $z) = -r$ 

### 2.2 Résultats de référence

$$u$$
,  $v$ ,  $w$ ,  $\sigma_{zz}$  en  $r=0., 0.5, 1.$   $z=0., 6., 12.$   $r=0.$  en  $z=6.$   $\theta=45^{\circ}$ 

### 2.3 Incertitude sur la solution

Solution analytique.

## 2.4 Références bibliographiques

1) PERMAS-HS. Axisymmetric Continua with arbitrary loads. Stuttgart 1985. INTES publication n°224 pp 42 - 49.

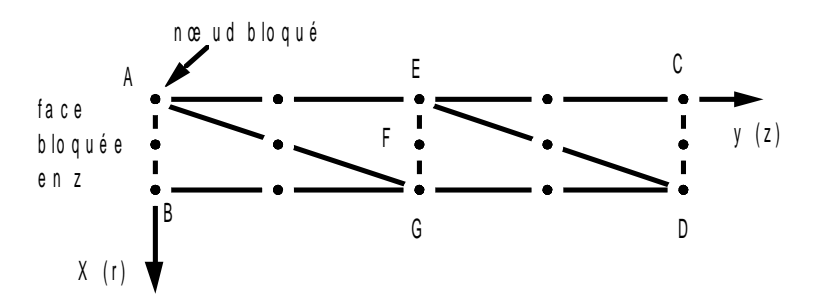
Date: 15/06/2011 Page: 4/16 Responsable: Josselin DELMAS Clé: V3.04.109 Révision: 6525

### **Modélisation A** 3

### 3.1 Caractéristiques de la modélisation

Numéro des noeuds :

$$A=N1$$
  $B=N3$   $C=N13$   $D=N15$   $E=N7$   $F=N8$   $G=N9$ 



Conditions limites:

Pression sur la face CD: PRES REP (GROUP MA: Bout PRES: p) p étant défini par AFFE CHAR MECA F par p(X) = -X

### 3.2 Caractéristiques du maillage

Nombre de nœuds : 15

Nombre de mailles et types : 4 TRIA6, 1SEG3 sur segment CD

Responsable : Josselin DELMAS

### Date : 15/06/2011 Page : 5/16 Clé : V3.04.109 Révision : 6525

## 4 Résultats de la modélisation A

### 4.1 Valeurs testées

Nœud	Grandeur	Référence
В	и	2.0833 10 <sup>-3</sup>
	v	0.
	w	-2.0833 10 <sup>-3</sup>
	$\sigma_{\scriptscriptstyle zz}$	<b>–</b> 1.
E	и	0.25
	$\nu$	0.
	w	0.25
	$\sigma_{\scriptscriptstyle zz}$	0.
$\overline{F}$	и	0.250521
	v	-0.04166
	w	0.0249479
	$\sigma_{\scriptscriptstyle zz}$	-0.5
$\overline{G}$	и	0.252083
	$\nu$	-0.083333
	w	0.247917
	$\sigma_{\scriptscriptstyle zz}$	<b>–</b> 1.
$\overline{C}$	и	1.
	$\nu$	0.
	w	1.
	$\sigma_{\scriptscriptstyle zz}$	0.
$\overline{D}$	и	1.00208
	$\nu$	-0.16666
	W	0.99791
	$\sigma_{\scriptscriptstyle zz}$	<b>–1</b> .

## 4.2 Remarques

La solution analytique est trouvée avec une précision  $\,<\!0.02\,$  pour les déplacements et  $\,<\!0.1\,$  pour les contraintes.

Avec une formule d'intégration numérique à 6 points de GAUSS (au lieu de 3) pour calculer la raideur, on trouverait la relation à  $10^{-10}$  près (comme PERMAS).

Date: 15/06/2011 Page: 6/16

Titre : SSLV109 - Cylindre plein en pression non uniforme [...]

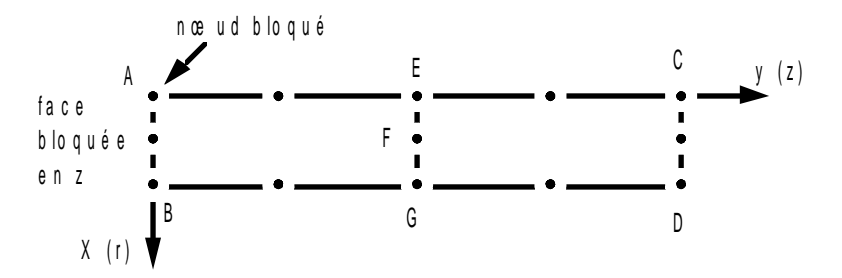
Responsable : Josselin DELMAS Clé : V3.04.109 Révision : 6525

### 5 Modélisation B

### 5.1 Caractéristiques de la modélisation

Numéro des nœuds :

$$A=N1$$
  $B=N3$   $C=N13$   $D=N15$   $E=N7$   $F=N8$   $G=N9$ 



Conditions limites:

Pression sur la face CD : PRES\_REP (GROUP\_MA : Bout PRES : p)  $p \ \ \text{ \'etant d\'efini par AFFE\_CHAR\_MECA\_F par } \ p(X) = -X$ 

## 5.2 Caractéristiques du maillage

Nombre de nœuds : 15

Nombre de mailles et types : 2 QUAD8, 1 SEG3 sur segment CD

Date: 15/06/2011 Page: 7/16

Clé: V3.04.109

Titre: SSLV109 - Cylindre plein en pression non uniforme [...]

Responsable : Josselin DELMAS

## Résultats de la modélisation B

### 6.1 Valeurs testées

6

Nœud	Grandeur	Référence
В	и	2.0833 10 <sup>-3</sup>
	$\nu$	0.
	W	-2.0833 10 <sup>-3</sup>
	$\sigma_{\scriptscriptstyle zz}$	<b>–1</b> .
E	и	0.25
	v	0.
	w	0.25
	$\sigma_{\scriptscriptstyle zz}$	0.
$\overline{F}$	и	0.250521
	ν	-0.04166
	w	0.0249479
	$\sigma_{\scriptscriptstyle zz}$	-0.5
$\overline{G}$	и	0.252083
	$\nu$	-0.08333
	w	0.247917
	$\sigma_{\scriptscriptstyle zz}$	<b>–1</b> .
$\overline{C}$	и	1.
	$\nu$	0.
	W	1.
	$\sigma_{\scriptscriptstyle zz}$	0.
$\overline{D}$	и	1.00208
	$\nu$	-0.16666
	w	0.99791
	$\sigma_{\scriptscriptstyle zz}$	<b>–1</b> .

## 6.2 Remarques

La solution analytique est trouvée avec 10 ou 11 chiffres significatifs.

Date: 15/06/2011 Page: 8/16

Titre: SSLV109 - Cylindre plein en pression non uniforme [...]

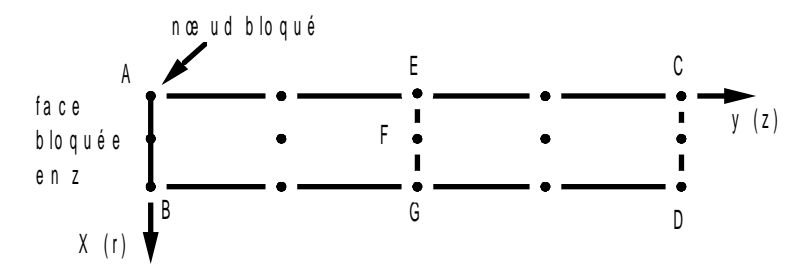
Responsable : Josselin DELMAS Clé : V3.04.109 Révision : 6525

### 7 Modélisation C

### 7.1 Caractéristiques de la modélisation

Numéro des nœuds :

$$A=N1$$
  $B=N3$   $C=N13$   $D=N15$   $E=N7$   $F=N8$   $G=N9$ 



Conditions limites:

Pression sur la face CD : PRES\_REP (GROUP\_MA = Bout, PRES = p)  $p \ \ \text{étant défini par } \text{AFFE\_CHAR\_MECA\_F par} \ \ p(x) = -x$ 

### 7.2 Caractéristiques du maillage

Nombre de nœuds :15

Nombre de mailles et types : 2 QUAD9, 1 SEG3 sur segment CD

Date: 15/06/2011 Page: 9/16

Clé: V3.04.109

Titre: SSLV109 - Cylindre plein en pression non uniforme [...]

Responsable : Josselin DELMAS

## Résultats de la modélisation C

### 8.1 Valeurs testées

8

Nœud	Grandeur	Référence
В	и	2.0833 10 <sup>-3</sup>
	$\nu$	0.
	w	<b>−</b> 2.0833 10 <sup>−3</sup>
	$\sigma_{\scriptscriptstyle zz}$	<b>–1</b> .
$\overline{E}$	и	0.25
	v	0.
	W	0.25
	$\sigma_{\scriptscriptstyle zz}$	0.
$\overline{F}$	и	0.250521
	$\nu$	-0.04166
	w	0.0249479
	$\sigma_{\scriptscriptstyle zz}$	-0.5
$\overline{G}$	и	0.252083
	v	-0.08333
	W	0.247917
	$\sigma_{\scriptscriptstyle zz}$	<b>–1</b> .
$\overline{C}$	и	1.
	$\nu$	0.
	w	1.
	$\sigma_{\scriptscriptstyle zz}$	0.
$\overline{D}$	и	1.00208
	$\nu$	-0.16666
	w	0.99791
	$\sigma_{\scriptscriptstyle zz}$	<b>–1</b> .

## 8.2 Remarques

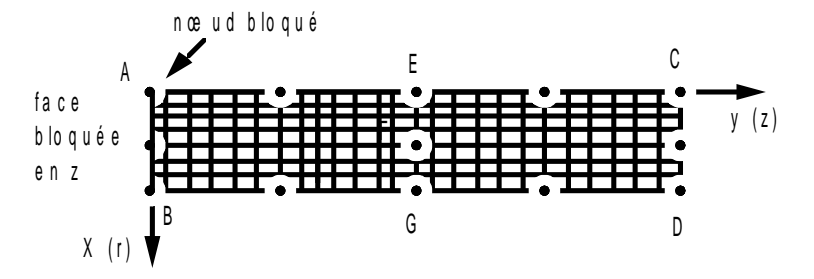
La solution analytique est trouvée avec 10 ou 11 chiffres significatifs.

Date: 15/06/2011 Page: 10/16 Responsable : Josselin DELMAS Clé: V3.04.109 Révision: 6525

### **Modélisation D** 9

### 9.1 Caractéristiques de la modélisation

Numéro des nœuds : A = N1B = N1129C = N1369D = N2169E = N141F = N705G = N1269



### Conditions limites:

Pression sur la face  ${\it CD}$  : PRES REP (GROUP MA : Bout PRES : p) p étant défini par AFFE CHAR MECA F par p(x)=-x

### 9.2 Caractéristiques du maillage

Nombre de nœuds : 2169

Nombre de mailles et types : 1920 QUAD4, 8 SEG2 sur segment CD

Date: 15/06/2011 Page: 11/16

Clé: V3.04.109

Titre: SSLV109 - Cylindre plein en pression non uniforme [...]

Responsable : Josselin DELMAS

## 10 Résultats de la modélisation D

### 10.1 Valeurs testées

Nœud	Grandeur	Référence
В	и	2.0833 10 <sup>-3</sup>
	v	0.
	w	– 2.0833 10 <sup>–3</sup>
	$\sigma_{\scriptscriptstyle zz}$	<b>–1</b> .
$\overline{E}$	и	0.25
	v	0.
	w	0.25
	$\sigma_{\scriptscriptstyle zz}$	0.
$\overline{F}$	и	0.250521
	v	-0.04166
	w	0.0249479
	$\sigma_{\scriptscriptstyle zz}$	-0.5
$\overline{G}$	и	0.252083
	v	-0.083333
	w	0.247917
	$\sigma_{\scriptscriptstyle zz}$	<b>–1</b> .
$\overline{C}$	и	1.
	v	0.
	w	1.
	$\sigma_{\scriptscriptstyle zz}$	0.
$\overline{D}$	и	1.00208
	$\nu$	-0.16666
	W	0.99791
	$\sigma_{\scriptscriptstyle zz}$	<b>–1</b> .

## 10.2 Remarques

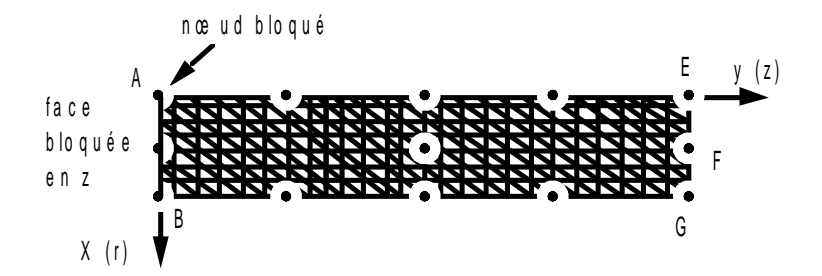
Pour obtenir une précision de l'ordre de 1 % sur les contraintes, il est nécessaire de modéliser la structure très finement (8 éléments radialement et 240 axialement).

Date: 15/06/2011 Page: 12/16 Responsable: Josselin DELMAS Clé: V3.04.109 Révision: 6525

### **Modélisation E** 11

### Caractéristiques de la modélisation

Numéro des nœuds : A = NIB = N2421E = N121F = N1331G = N2541



### Conditions limites:

DDL\_IMPO : ( NOEUD : A DX = 0. DY = 0. DZ = 0.) ( GROUP NO : AB DY = 0.)face AB

Pression sur la face EG: PRES REP (GROUP MA: Bout PRES: p) p étant défini par AFFE CHAR MECA F par p(x) = -x

## 11.2 Caractéristiques du maillage

Nombre de nœuds : 2541

Nombre de mailles et types : 4800 TRIA3, 20 SEG2 sur segment EG

## 11.3 Remarques

Pour diminuer le nombre de nœuds, on a modélisé la structure pour  $y \le 6$ . La précision sur les résultats est néanmoins moindre que pour les éléments QUAD4.

Date: 15/06/2011 Page: 13/16

Clé: V3.04.109

Titre: SSLV109 - Cylindre plein en pression non uniforme [...]

Responsable : Josselin DELMAS

## 12 Résultats de la modélisation E

### 12.1 Valeurs testées

Nœud	Grandeur	Référence
В	и	2.0833 10 <sup>-3</sup>
	$\nu$	0.
	W	-2.0833 10 <sup>-3</sup>
	$\sigma_{\scriptscriptstyle zz}$	<b>–1</b> .
$\overline{E}$	и	0.25
	$\nu$	0.
	W	0.25
	$\sigma_{\scriptscriptstyle zz}$	0.
$\overline{F}$	и	0.250521
	$\nu$	-0.04166
	w	0.249479
	$\sigma_{\scriptscriptstyle zz}$	-0.5
$\overline{G}$	и	0.252083
	$\nu$	-0.083333
	w	0.247917
	$\sigma_{\scriptscriptstyle zz}$	<b>–1</b> .

## 12.2 Remarques

La précision sur les déplacements est inférieure à 3%, celle sur les contraintes inférieure à 2 %.

Sur cet exemple, les TRIA3 convergent nettement moins rapidement que les QUAD4 vers la solution exacte.

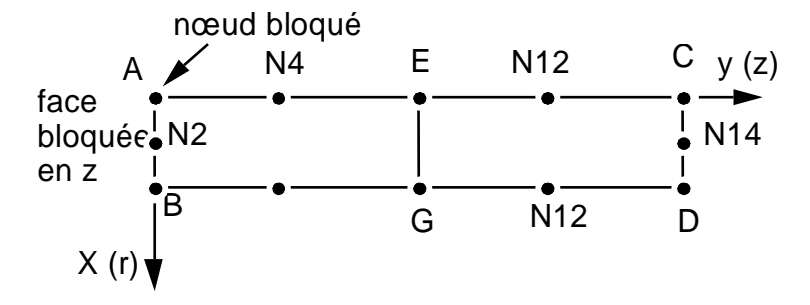
Date: 15/06/2011 Page: 14/16 Responsable: Josselin DELMAS Clé: V3.04.109 Révision: 6525

### Modélisation F 13

### Caractéristiques de la modélisation

Numéro des nœuds :

$$A = N1$$
  $B = N3$   $C = N13$   $D = N15$   $E = N7$   $G = N9$ 



Conditions limites:

Pression sur la face  $\mathit{CD}$  : PRES REP (GROUP MA : Bout PRES : p) p étant défini par AFFE CHAR MECA F par p(X) = -X

### 13.2 Caractéristiques du maillage

Nombre de nœuds : 15

Nombre de mailles et types : 2 QUAD8, 1SEG3 sur segment CD

Responsable : Josselin DELMAS

Date : 15/06/2011 Page : 15/16 Clé : V3.04.109 Révision : 6525

## 14 Résultats de la modélisation F

### 14.1 Valeurs testées

Nœud	Grandeur	Référence
N2	и	2.6041666
	w	-2.6041666
$\overline{A}$	$\sigma_{\scriptscriptstyle zz}$	0.
В	$\sigma_{\scriptscriptstyle zz}$	<b>–1</b> .
N4	и	0.0625
	w	0.0625
E	и	0.25
	W	0.25
	$\sigma_{\scriptscriptstyle zz}$	0.
$\overline{G}$	$\overline{v}$	-0.083333
	$\sigma_{\scriptscriptstyle zz}$	<b>–1</b> .
N10	и	0.5625
	W	0.5625
N12	ν	-0.125
C	и	1.
	W	1.
	$\sigma_{\scriptscriptstyle zz}$	0.
N14	ν	-0.083333
$\overline{D}$	v	-0.166666
	$\sigma_{\scriptscriptstyle zz}$	<b>–1</b> .



Date: 15/06/2011 Page: 16/16 Responsable : Josselin DELMAS Clé: V3.04.109 Révision: 6525

### Synthèse des résultats 15

Les éléments d'ordre 2 donnent la solution analytique.

Les éléments d'ordre 1 convergent lentement vers la solution et nécessitent des maillages très fins. Les temps calculs restent toutefois raisonnables.